

Wolfgang H. Rucker

**Latridiidae  
und  
Merophysiidae  
der West-Paläarktis**

**2. Auflage**

1473 Abbildungen gesamt  
35 Farbzeichnungen  
1370 Schwarzweißzeichnungen  
156 Farbfotos  
12 Verbreitungskarten



© 2020 Wolfgang H. Rucker Selbstverlag, Neuwied

# Inhaltsverzeichnis

<b>Zur Person des Autors</b> .....	7
<b>Vorwort</b> .....	9
<b>Einleitung</b> .....	15
<b>Geltungsbereich der Bestimmungsschlüssel</b> .....	16
<b>Akronyme</b> .....	17
<b>Allgemeiner Teil</b> .....	20
Etymologie .....	20
Systematik und Nomenklatur .....	20
Phylogenie der Latridiidae und Merophysiidae .....	20
Sammelmethoden, Präparation, optische Ausrüstung .....	22
<b>Allgemeiner Teil Latridiidae ERICHSON, 1842</b> .....	26
Biologie und Ökologie der Latridiidae .....	26
Parasiten der Latridiidae .....	30
Beziehungen der Latridiidae zu Ameisen, Wespen und Bienen .....	30
<b>Biodiversität der Latridiidae</b> .....	31
<b>Morphologie der Latridiidae</b> .....	33
Übersicht morphologischer Begriffe .....	34
Übersicht und Definition der im Text verwendeten Abmessungen .....	35
Morphologie der Beine der Latridiidae und Merophysiidae .....	38
Morphologie der Vorderhüften der Latridiidae und Merophysiidae .....	39
Morphologie des Aedoeagus der Gattung <i>Corticaria</i> .....	40
<b>Wo und wie findet man Latridiidae</b> .....	44
<b>Systematischer Teil</b> .....	52
<b>Bestimmungsschlüssel zur Trennung der Latridiidae und Merophysiidae</b>	52
<b>Latridiidae ERICHSON, 1842</b> .....	54
Latridiinae ERICHSON, 1842 .....	54
Corticariinae CURTIS, 1829 .....	58
<b>Bestimmungsschlüssel Unterfamilie Latridiinae ERICHSON, 1842</b> .....	61
<b>Gattung <i>Adistemia</i> FALL, 1899</b> .....	61
<b>Gattung <i>Cartodere</i> C. G. THOMSON, 1859</b> .....	63
Bestimmungsschlüssel der Untergattung <i>Aridius</i> MOTSCHULSKY, 1866 .....	63
Bestimmungsschlüssel der Untergattung <i>Cartodere</i> C. G. THOMSON, 1859 .....	64
<b>Gattung <i>Dienerella</i> REITTER, 1911</b> .....	71
Bestimmungsschlüssel der Untergattung <i>Cartoderema</i> REITTER, 1911 .....	72

Bestimmungsschlüssel der Untergattung <i>Dienerella</i> REITTER, 1911 .....	74
Übersicht 1 der Gattung <i>Dienerella</i> REITTER, 1911 .....	83
<b>Gattung <i>Enicmus</i> C. G. THOMSON, 1859</b> .....	99
<b>Gattung <i>Euchionellus</i> REITTER, 1908</b> .....	118
<b>Gattung <i>Eufallia</i> MUTTKOWSKI, 1910</b> .....	119
<b>Gattung <i>Latridius</i> HERBST, 1793</b> .....	120
<b>Gattung <i>Lithostygnus</i> BROUN, 1886</b> .....	129
<b>Gattung <i>Metophthalmus</i> MOTSCHULSKY, 1850</b> .....	130
Hinweise zur Präparation des Aedoeagus bei der Gattung <i>Metophthalmus</i> MOTSCHULSKY, 1850 .....	131
Bestimmungsschlüssel der Gattung <i>Metophthalmus</i> MOTSCHULSKY, 1850 .....	132
Bestimmungsschlüssel der Untergattung <i>Bonvouloiria</i> JACQUELIN DU VAL, 1859 .....	132
Bestimmungsschlüssel der Untergattung <i>Metophthalmus</i> MOTSCHULSKY, 1850 .....	133
<b>Gattung <i>Revelieria</i> PERRIS, 1869</b> .....	151
<b>Gattung <i>Stephostethus</i> LECONTE, 1878</b> .....	153
Bestimmungsschlüssel der Gattung <i>Stephostethus</i> LECONTE, 1878 .....	153
<b>Gattung <i>Thes</i> SEMENOV-TIAN-SHANSKY, 1910</b> .....	169
Faunenfremde Arten der Gattung <i>Stephostethus</i> LECONTE, 1878 .....	170
Faunenfremde Arten der Gattung <i>Enicmus</i> C. G. THOMSON, 1859 .....	174
<b>Corticariinae CURTIS, 1829</b> .....	177
<b>Bestimmungsschlüssel Unterfamilie Corticariinae CURTIS, 1829</b> .....	178
<b>Gattung <i>Corticaria</i> MARSHAM, 1829</b> .....	178
<b>Gattung <i>Corticicara</i> JOHNSON, 1975</b> .....	317
<b>Gattung <i>Corticarina</i> REITTER, 1881</b> .....	317
<b>Gattung <i>Migneauxia</i> JACQUELIN DU VAL, 1859</b> .....	330
<b>Gattung <i>Melanophthalma</i> MOTSCHULSKY, 1866</b> .....	334
Untergattung <i>Cortilena</i> MOTSCHULSKY, 1867 .....	334
Untergattung <i>Melanophthalma</i> MOTSCHULSKY, 1866 .....	334
Faunenfremde Arten der Gattung <i>Melanophthalma</i> MOTSCHULSKY, 1866 .....	361
<b>Beschreibungen Latridiidae ERICHSON, 1842</b> .....	363
Gattung <i>Adistemia</i> FALL, 1899 .....	365
Gattung <i>Cartodere</i> C. G. THOMSON, 1859 .....	366
1. Untergattung <i>Aridius</i> MOTSCHULSKY, 1866 .....	367
2. Untergattung <i>Cartodere</i> THOMSON, 1859 .....	369
Gattung <i>Dienerella</i> REITTER, 1911 .....	372
1. Untergattung <i>Cartoderema</i> REITTER, 1911 .....	373

2. Untergattung <i>Dienerella</i> REITTER, 1911 .....	381
Gattung <i>Enicmus</i> C. G. THOMSON, 1859 .....	387
Gattung <i>Euchionellus</i> REITTER, 1908 .....	398
Gattung <i>Eufallia</i> MUTTKOWSKI, 1910 .....	399
Gattung <i>Latridius</i> HERBST, 1793 .....	400
Gattung <i>Lithostygnus</i> BROUN, 1886 .....	406
Gattung <i>Metophthalmus</i> MOTSCHULSKY, 1850 .....	407
1. Untergattung <i>Bonvouloiria</i> JACQUELIN DU VAL, 1859 .....	409
2. Untergattung <i>Metophthalmus</i> MOTSCHULSKY, 1850 .....	410
Gattung <i>Revelieria</i> PERRIS, 1869 .....	423
Gattung <i>Stephostethus</i> LECONTE, 1878 .....	424
Gattung <i>Thes</i> SEMENOV, 1910 .....	432
Unterfamilie Corticariinae CURTIS, 1829 .....	433
Gattung <i>Corticaria</i> MARSHAM, 1802 .....	433
Gattung <i>Cortinicara</i> JOHNSON, 1975 .....	487
Gattung <i>Corticarina</i> REITTER, 1881 .....	488
Gattung <i>Migneauxia</i> JACQUELIN DU VAL, 1859 .....	498
Gattung <i>Melanophthalma</i> MOTSCHULSKY, 1866 .....	502
<b>Checkliste Latridiidae ERICHSON, 1842 .....</b>	<b>527</b>
<b>Merophysiidae SEIDLITZ, 1872 .....</b>	<b>533</b>
<b>Merophysiinae SEIDLITZ, 1872 .....</b>	<b>533</b>
<b>Allgemeiner Teil Merophysiidae SEIDLITZ, 1872 .....</b>	<b>534</b>
<b>Unterfamilie Merophysiinae SEIDLITZ, 1872 .....</b>	<b>534</b>
Morphologie der Augen der Unterfamilie Merophysiinae .....	537
Morphologische Begriffe zum Pronotum der Gattung Merophysia .....	538
Morphologie der Merophysiidae und Holoparamecinae .....	539
<b>Biodiversität der Merophysiidae .....</b>	<b>541</b>
<b>Gattung Merophysia LUCAS, 1852 .....</b>	<b>543</b>
<b>Systematischer Teil Merophysiinae SEIDLITZ, 1872 .....</b>	<b>565</b>
Bestimmungsschlüssel zur Trennung von Merophysiinae SEIDLITZ, 1872 und Holoparamecinae SEIDLITZ, 1888 .....	565
Bestimmungsschlüssel Unterfamilie Merophysiinae SEIDLITZ, 1872 .....	565
<b>Gattung Cholovocera MOTSCHULSKY, 1838 .....</b>	<b>566</b>
<b>Gattung Reitteria LEDER, 1872 .....</b>	<b>572</b>
<b>Gattung Displotera REITTER, 1887 .....</b>	<b>574</b>
<b>Beschreibungen Merophysiidae Seidlitz, 1872 (Merophysiinae) .....</b>	<b>576</b>
Gattung <i>Cholovocera</i> MOTSCHULSKY, 1838 .....	576

Gattung <i>Displotera</i> REITTER, 1887 .....	580
Gattung <i>Merophysia</i> LUCAS, 1852 .....	581
Gattung <i>Reitteria</i> LEDER, 1872 .....	594
<b>Holoparamecinae SEIDLITZ, 1888</b> .....	597
<b>Systematischer Teil Holoparamecinae SEIDLITZ, 1888</b> .....	598
Bestimmungsschlüssel Unterfamilie Holoparamecinae SEIDLITZ, 1888 .....	598
Bestimmungsschlüssel der Untergattung <i>Tomyrium</i> REITTER, 1880 .....	598
Bestimmungsschlüssel Untergattung <i>Calyptobium</i> AUBÉ, 1843 .....	598
Bestimmungsschlüssel Untergattung <i>Holoparamecus</i> CURTIS, 1833 .....	599
<b>Beschreibungen Merophysiidae SEIDLITZ, 1872 (Holoparamecinae)</b> .....	606
Gattung <i>Holoparamecus</i> CURTIS, 1833 .....	606
1. Untergattung <i>Tomyrium</i> REITTER, 1880 .....	606
2. Untergattung <i>Calyptobium</i> AUBÉ, 1843 .....	607
3. Untergattung <i>Holoparamecus</i> CURTIS, 1833 .....	609
<b>Checkliste Merophysiidae SEIDLITZ, 1872</b> .....	612
<b>Anhang I – Fototafeln</b> .....	613
<b>Anhang II – Ergänzungen und Nachträge</b> .....	625
<i>Dienerella talassemiana</i> OTERO, BENYAHA & BRUSTEL, 2017 .....	627
Taxonomie und Verbreitung von <i>Euchionellus zanzibaricus</i> (BELON, 1887) ...	630
<i>Metophthalmus kakiopoulosi</i> RÜCKER, 2019 .....	634
<i>Corticaria wolfgangrueckeri</i> REIKE, 2019 .....	637
<i>Corticaria dioscorida</i> RÜCKER, 2018 .....	640
Taxonomischer Status von <i>Dienerella elongata</i> (CURTIS, 1830) .....	642
<i>Enicmus clayhillsi</i> RÜCKER, 2019 .....	643
Variationen der Pronata bei <i>Lithostygnus serripennis</i> BROUN, 1914 .....	645
<i>Corticaria culminis</i> Telfer & RÜCKER, 2019 .....	647
<i>Dienerella katarzynae</i> RÜCKER & PLEWA, 2020 .....	648
<i>Enicmus barimani</i> RÜCKER, 2017 (Ergänzungen, neue Abbildungen) .....	650
<b>Anhang III – So schön können Latridiidae sein ...</b> .....	655
<b>Anhang IV – Checkliste Welt</b> .....	663
<b>Dank</b> .....	695
<b>Abbildungsnachweis</b> .....	697
<b>Glossar</b> .....	699
<b>Literaturverzeichnis</b> .....	703
<b>Literaturverzeichnis fossiler Latridiidae und Merophysiidae</b> .....	722
<b>Literaturverzeichnis Gesamtübersicht RÜCKER</b> .....	723
<b>Index Gattungen</b> .....	730
<b>Index</b> .....	731

# Bestimmungsschlüssel

## Unterfamilie Latridiinae

### ERICHSON, 1842

## Gattung *Adistemia* FALL, 1899

### *Adistemia* Fall, 1899

Die Gattung *Adistemia* FALL, 1899, deren Diversitätszentrum sich mit zwölf Arten über die gesamte neotropische Region erstreckt, ist in Europa bisher nur mit *Adistemia watsoni* (WOLLASTON, 1872) mit ihrer kosmopolitischen Verbreitung vertreten. Über die Lebensweise dieser kleinen und filigran anmutenden Käfer ist bisher nicht sehr viel bekannt. In Deutschland wurde *Adistemia watsoni* meistens in Nestern von Tauben oder anderer Vögel gefunden. Aus Bolivien liegen mir verschiedene Aufsammlungen eines Freundes vor, der auf seiner Hazienda bei Cochabamba (4030 m) diese Art aus alten trockenen Heuhaufen in offenen Feldscheunen zahlreich gesiebt hat, sodass es als sehr wahrscheinlich gilt, diese Art bevorzugt Gras-Heu- und Strohabfälle, was auch auf die anderen Arten aus dieser Gattung aus Südamerika zutrifft.

Prothorakal coxae und Mesocoxae, im Gegensatz zur Gattung *Dienerella* sehr eng zusammen, beinahe aneinander stoßend. Das Metaventrit und das erste Sternit sind ohne eine sichtbare Naht fest miteinander verwachsen.

Kopf vor den kleinen Augen stark nach vorne verlängert (Abb. 134), Labrum sehr breit, Schläfen

lang und abgerundet, auffallend länger als die Augen, mindestens eineinhalb bis zwei mal länger als der Augendurchmesser, Pronotum oval, eiförmig, ohne Grübchen oder Eindrücken. Auf den Elytren mit acht Punktreihen. Der dritte und siebente Zwischenraum der Elytren deutlich, aber fein gekielt, Flügeldeckenabsturz (Elytral declivity) (Abb. 135). Flügeldeckennaht (Suture) erhaben gewölbt. Ganzer Käfer von hell gelber, gelbbrauner bis rostroter Farbe. 1,15–1,60 mm.

Habitus (Abb. 133, 1367)

Sexualdimorphismus: Vordertarsen der Männchen zweigliedrig (Abb. 136), Tarsenformel 2–3–3, Vordertarsen der Weibchen dreigliedrig (Abb. 137), Tarsenformel 3–3–3, Mitteltarsen und Hintertarsen von Männchen und Weibchen dreigliedrig (Abb. 138).

Aedoeagus schmal und schlank, sichelförmig gebogen (Abb. 139).

### Verbreitung.

Europa: Belgien, Dänemark, Deutschland, England, Finnland, Frankreich, Irland, Italien, Sizilien, Sardinien (FANCELLO & CILLO 2014), Niederlande, Norwegen, Portugal, Schweden, Schweiz, Spanien, Tschechische Republik.

Nordafrika: Ägypten, Algerien, Madeira Archipel, Marokko.

Asien: Iran, Israel, Japan, Libanon.

Afrotropische Region, Nearktische Region, Neotropische Region, Kosmopolit.

*watsoni* (WOLLASTON, 1872)

### Abbildungen Seite 62

#### Abb. 133–139. *Adistemia watsoni* (WOLLASTON, 1872)

133. Habitus (Länge 1,15–1,60 mm).

134. Kopf und Pronotum.

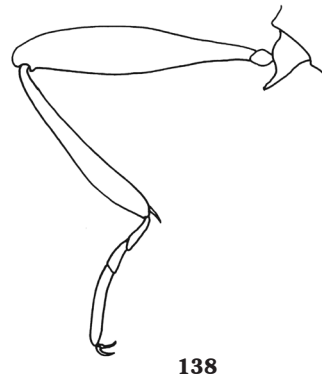
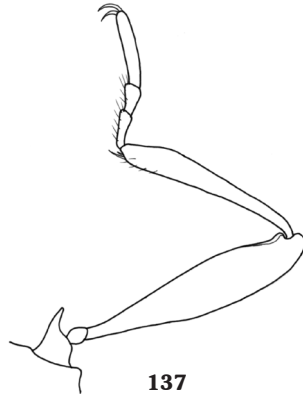
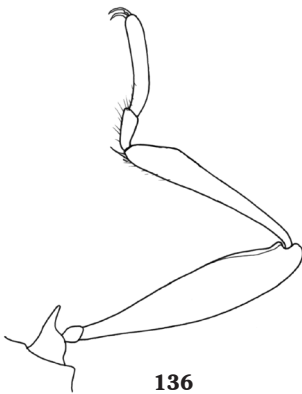
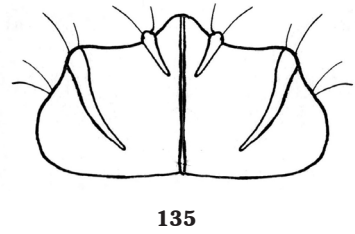
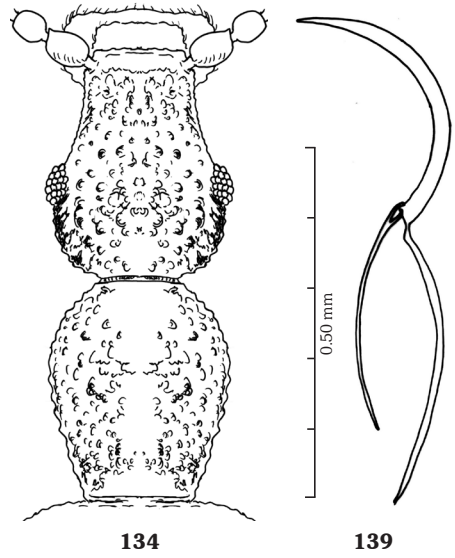
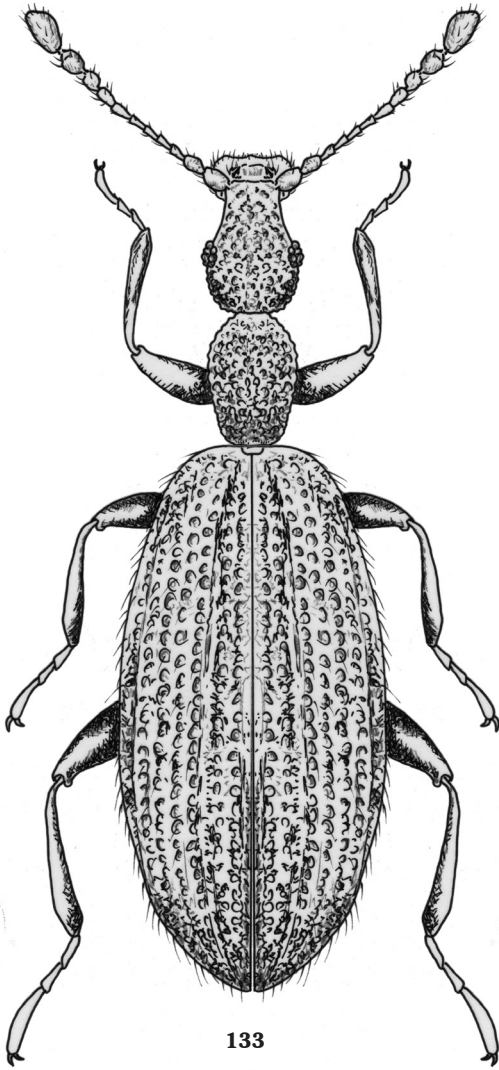
135. Flügeldeckenabsturz (Elytral declivity).

136. Vorderbein der Männchen, Vordertarse zweigliedrig.

137. Vorderbein der Weibchen, Vordertarse dreigliedrig.

138. Mittel- und Hinterbein von Männchen und Weibchen, Tarsen dreigliedrig.

139. Aedoeagus lateral.



# Gattung *Cartodere* C. G. THOMSON, 1859

Leicht kenntliche Gattung, die an dem typischen, hinter der Mitte stark eingeschnürten Pronotum, das oft von einer milchigen und wachstartigen Ausscheidung als Seitensaum umgeben wird, leicht zu erkennen ist. Die Epimeren sind vollständig vom Prosternalfortsatz getrennt.

Der Kopf etwas länger als breit, mit deutlichen Augen und nach hinten konvergierenden Schläfen, die aber nicht länger als der Durchmesser der Augen sind.

Die Elytren oft von stark strukturiertem Aussehen, bedingt durch die zum Teil buckelig erhobenen, ungeraden Intervalle der Elytren. Im allgemeinen braune, braunschwarze bis schwarze Tiere, aber auch helle Arten mit dunklen Binden und Flecken, die sehr unregelmäßig und variabel verteilt sein können. Die Größe kann bei den meisten Arten ebenfalls sehr stark variieren.

Die meistens in modernden Pflanzenabfällen lebenden *Cartodere*-Arten, treten mitunter auch in sehr großer Anzahl auf und gehören mit zu den häufigsten Arten, deren Diversitätszentrum mit bisher 47 bekannten Arten weltweit, in Südamerika und Australien liegt (Karte 2). In Europa sind bisher nur sieben Arten nachgewiesen und wurden vermutlich einmal aus diesen Regionen eingeschleppt und konnten sich hier problemlos ansiedeln und sind weit verbreitet.

Bestes Beispiel ist *Cartodere (Aridius) bifasciata* (REITTER, 1877). Diese Art, ursprünglich in Australien beheimatet, wurde nach England importiert, tauchte irgendwann in den Niederlanden auf und erreichte bald den Norden von Deutschland in der Umgebung von Düsseldorf und Krefeld und ist heute in fast allen Ländern von Europa anzutreffen.

## Bestimmungsschlüssel zur Trennung der Untergattungen *Cartodere* C. G. THOMSON, 1859

- 1 Fühlerglieder drei bis acht viel länger als breit, Fühlerkeule dreigliedrig, Schläfen etwas nach

hinten konvergierend und nicht länger als der Augendurchmesser.

### Untergattung *Aridius* MOTSCHULSKY, 1866

..... 2

- Fühlerglieder drei bis acht klein, kaum länger als breit, Fühlerkeule zwei- oder dreigliedrig, Schläfen mehr oder weniger parallel oder spitzwinkelig, wenigstens so lang oder länger als der Augendurchmesser.

### Untergattung *Cartodere* C. G. THOMSON, 1859

..... 5

## Bestimmungsschlüssel der Untergattung *Aridius* MOTSCHULSKY, 1866

- 2 Elytren zweifarbig, mit Flecken, Binden oder einem dunklen Nahtstreifen. .... 3

- Elytren einfarbig, ohne Muster, Binden oder dunklen Streifen. .... 4

- 3 Grundfarbe gelblich oder rötlich-braun. Der Scheitel und die Scheibe des Pronotums und der Elytren mit braunen bis schwarzen Binden oder Flecken, die mehr oder weniger variabel und von unterschiedlicher Form sein können (Abb. 141–144).

Die Naht ist ebenfalls in der Mitte dunkel. Oft sind die Flecken auf den Elytren vergrößert und fließen ineinander. Die ungeraden Zwischenräume der Elytren sind nur schwach erhaben und ohne buckelige Erhebungen.

Länge 2,00–2,20 mm.

### Verbreitung.

Europa: Azoren Archipel, Belgien, Dänemark, Deutschland, England, Frankreich, Irland, Niederlande, Portugal, Spanien, Schweden, Schweiz.

Nordafrika: Madeira Archipel, Asien: Türkei.

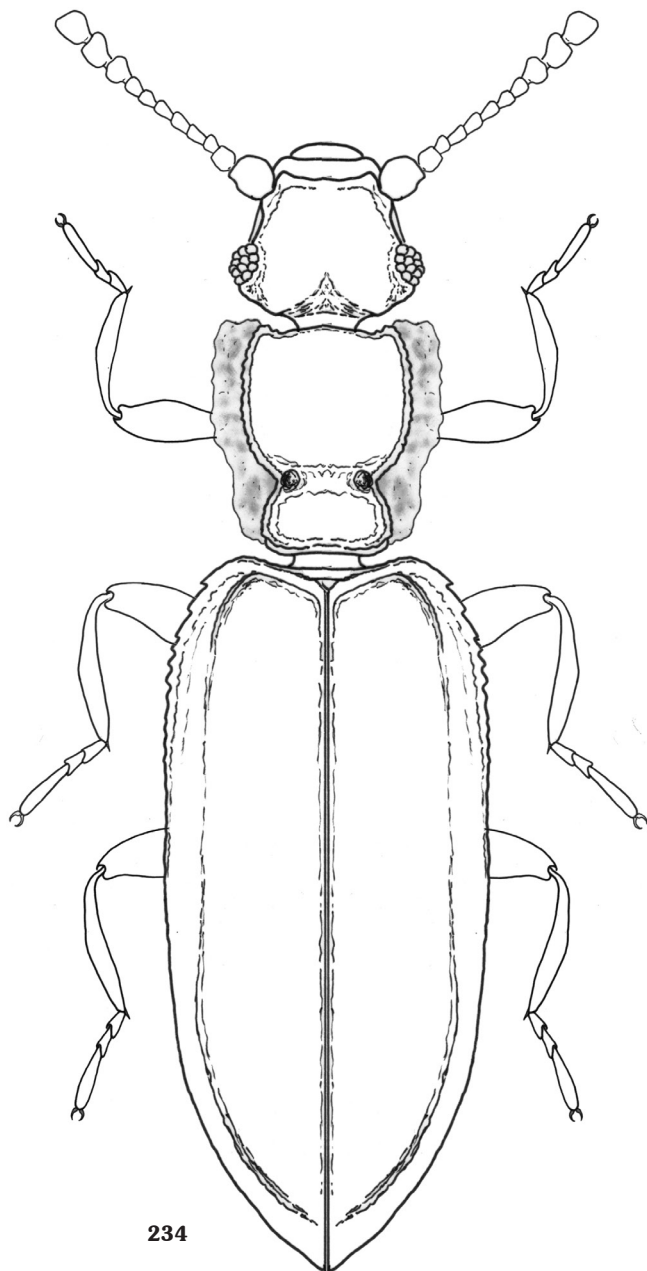
Australische Region, Nearktische Region.

***bifasciata* (REITTER, 1877)**

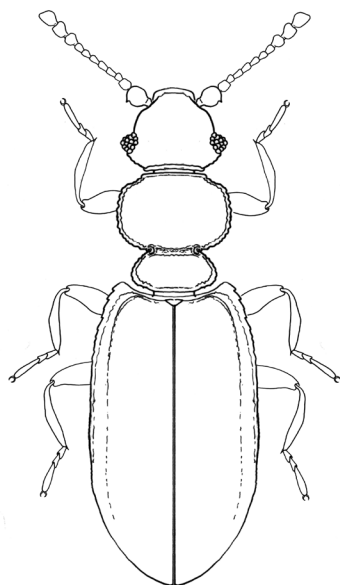


***Dienerella* REITTER, 1911**

**Untergattung *Cartoderema* REITTER, 1911**



234

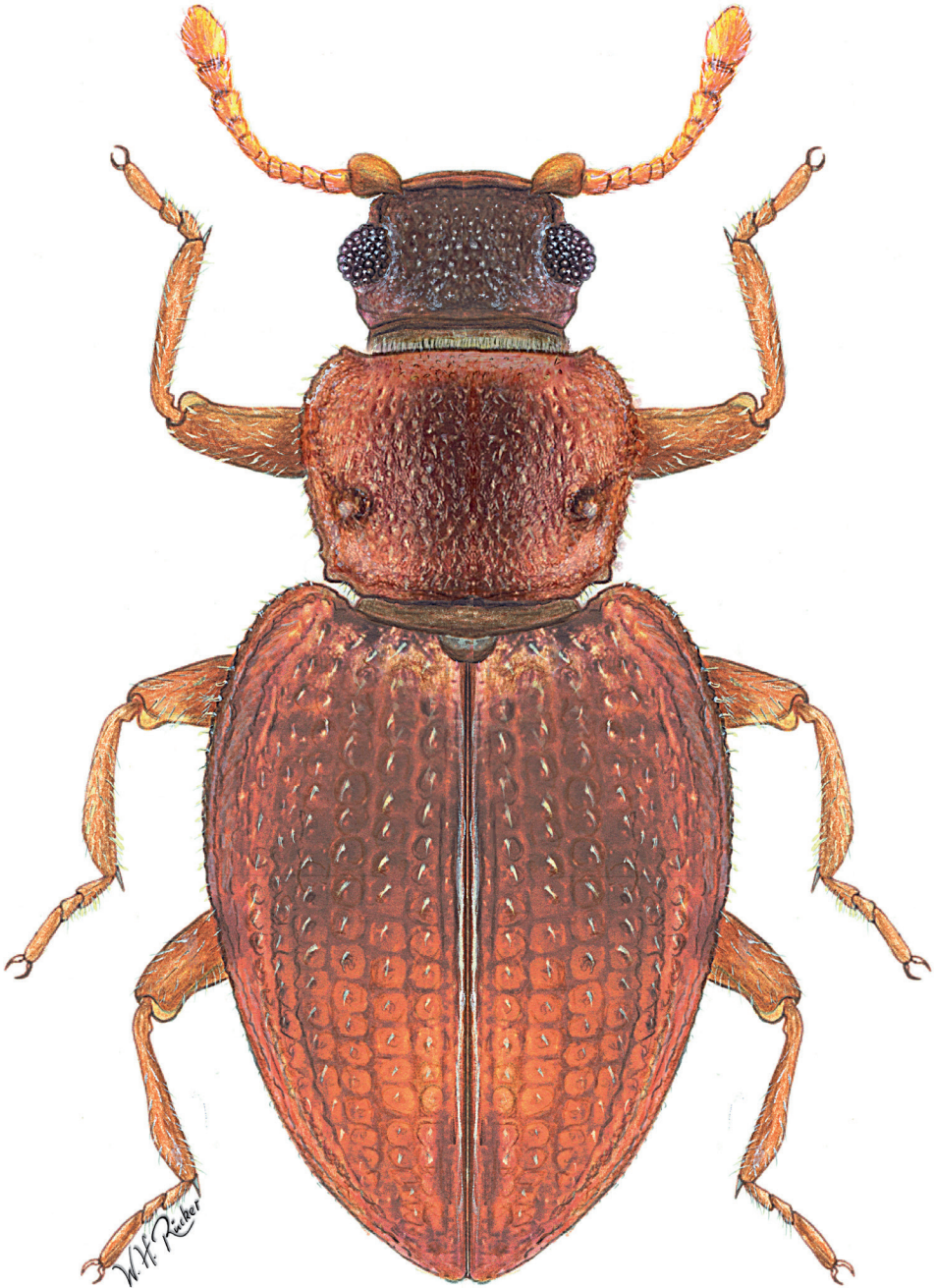


235

**Abb. 234–235. Habitus von *Dienerella* REITTER, 1911, Subgenus *Cartoderema* REITTER, 1911**

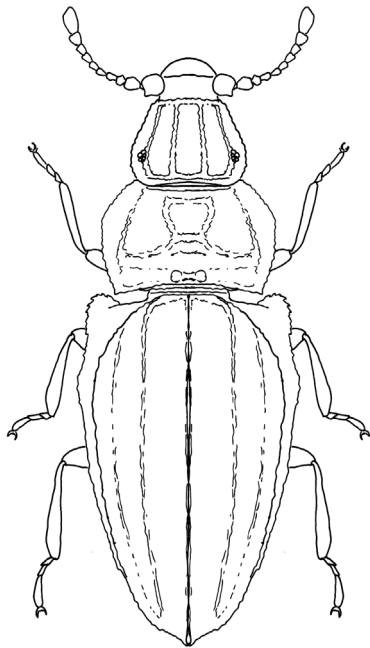
**234.** *Dienerella angelinii* RÜCKER, 1989 Länge 1,90–2,20 mm.

**235.** *Dienerella anatolica* (MANNERHEIM, 1844) Länge 0,85–1,00 mm.



**Abb. 292. *Enicmus mannerheimi* (KOLENATI, 1846)**

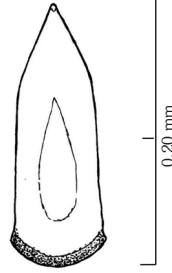
Länge 1,30–1,50 mm



399

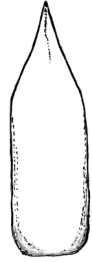


400

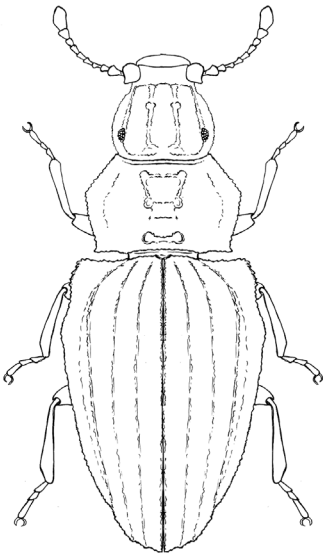


402

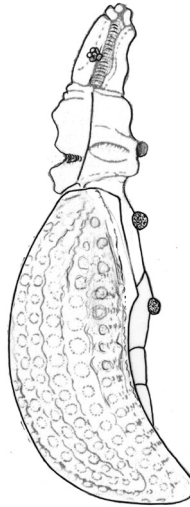
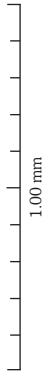
0.20 mm



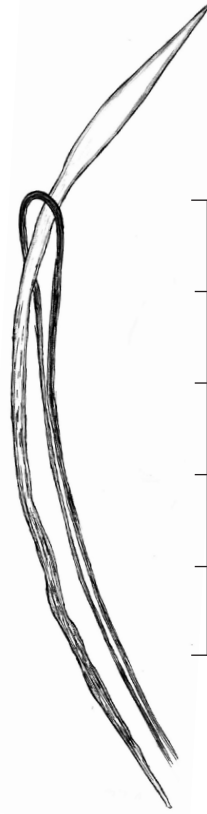
406



403



404



405

0.50 mm



401

**Abb. 399–402. *Metopthalmus lacteolus* MOTSCHULSKY, 1866**

399. Habitus.

400. Elytren im Profil.

401. Aedoeagus ventral.

402. ♂, Fusion letztes Tergit und Sternit.

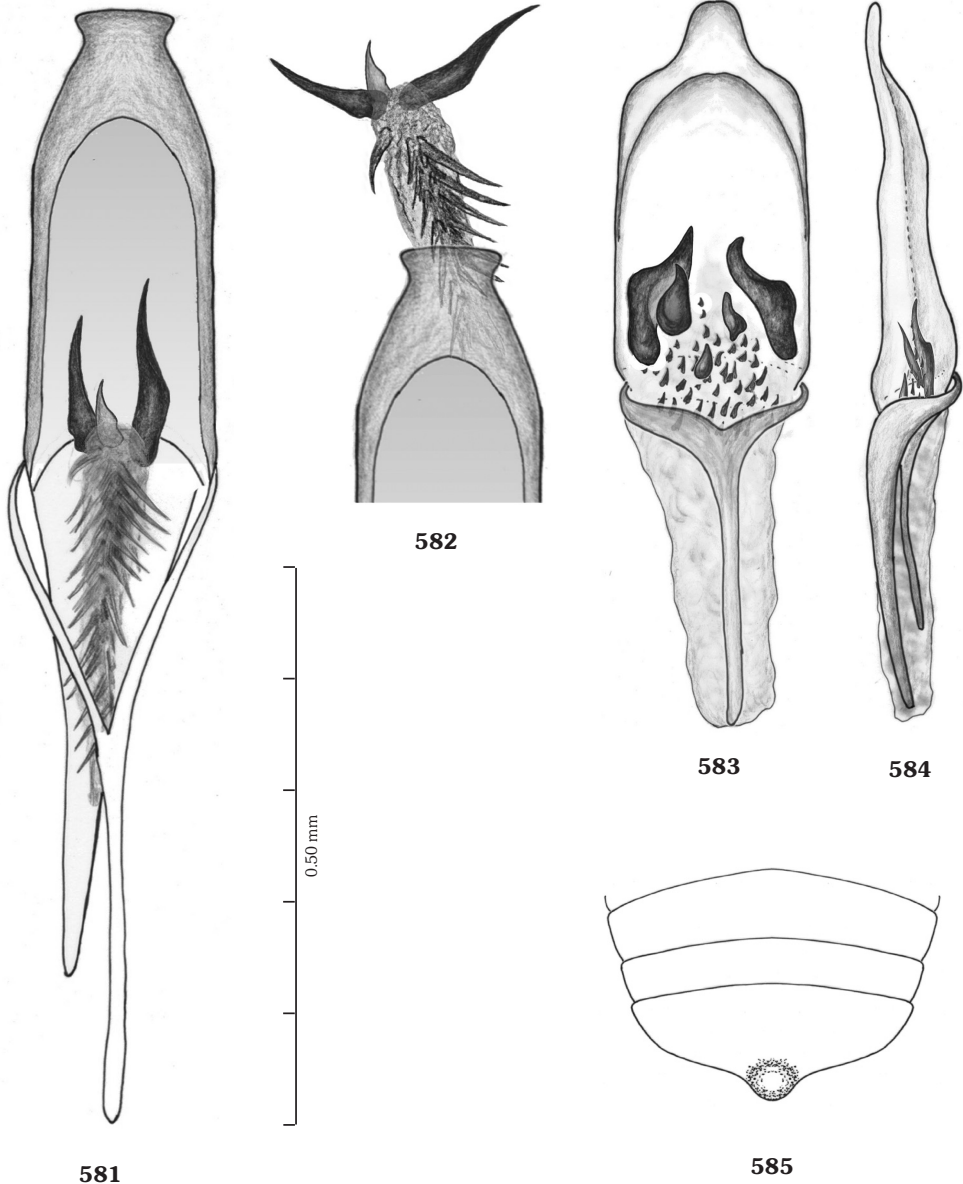
**Abb. 403–406. *Metopthalmus telemachos* RÜCKER & REIKE, 2010**

403. Habitus.

404. Elytren im Profil.

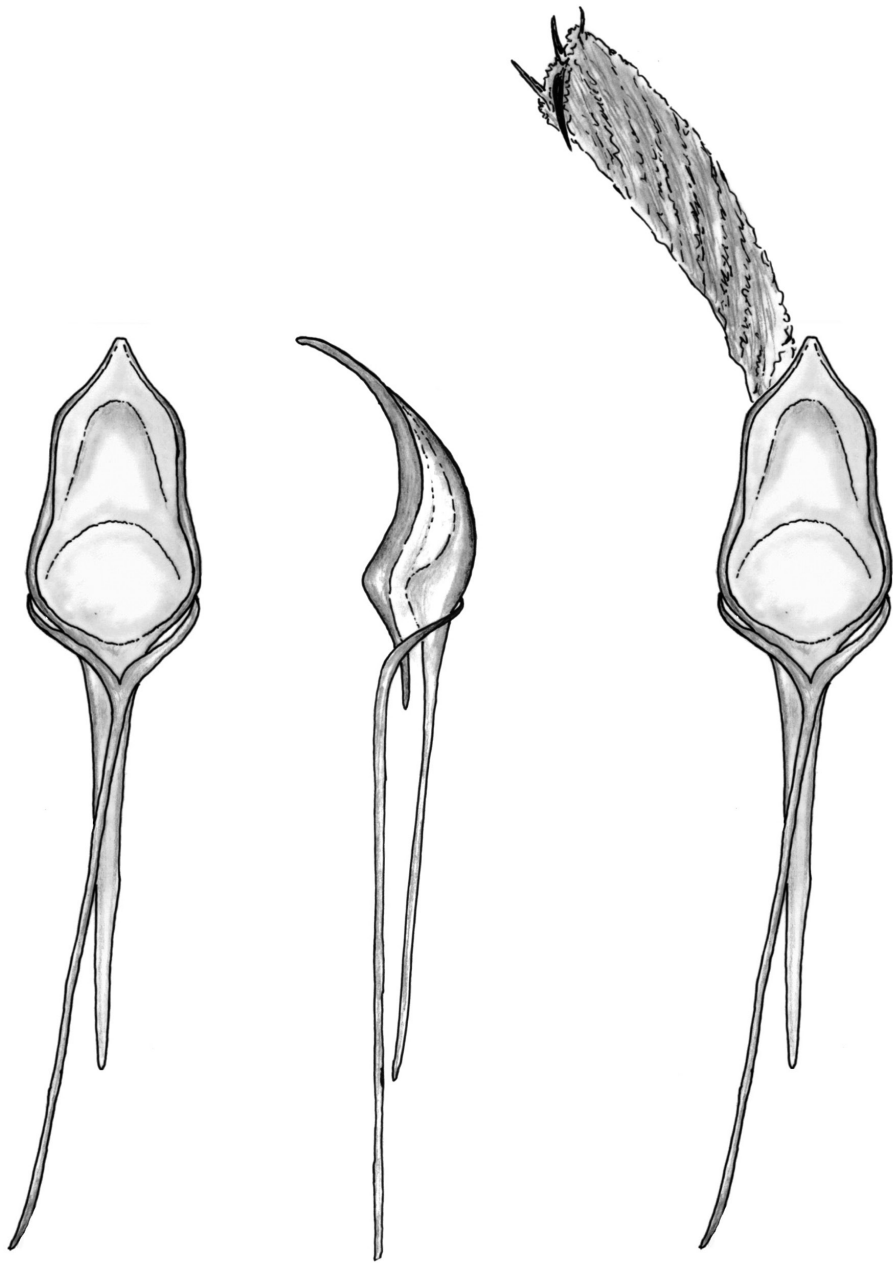
405. Aedoeagus ventral.

406. ♂, Fusion letztes Tergit und Sternit.



**Abb. 581–585. Aedoeagi der *Corticaria sylvicola* Gruppe**

- 581.** *Corticaria convexa* REITTER, 1881, Aedoeagus ventral.  
**582.** *Corticaria convexa* REITTER, 1881, Aedoeagus ventral, Präputialsack ausgestülpt.  
**583.** *Corticaria punctata* DAJOZ, 1970, Aedoeagus ventral.  
**584.** *Corticaria punctata* DAJOZ, 1970, Aedoeagus lateral.  
**585.** *Corticaria punctata* DAJOZ, 1970, Abdomen der Männchen ventral mit etwas kugelförmiger Spitze des letzten Sternit.



829

830

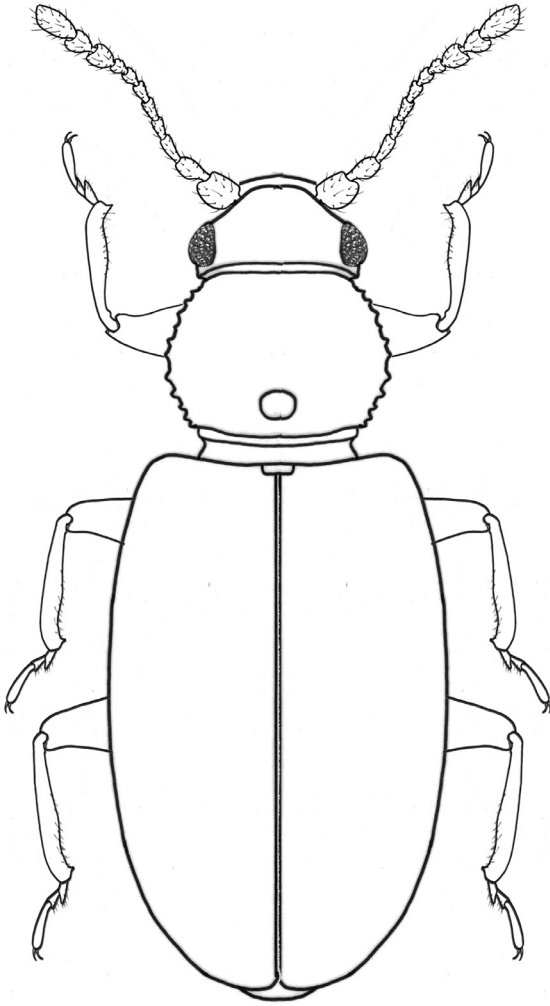
831

**Abb. 829–831. *Corticaria lapponica* (ZETTERSTEDT, 1838)**

**Abb. 829.** *Corticaria lapponica* (ZETTERSTEDT, 1838), Aedoeagus ventral.

**Abb. 830.** *Corticaria lapponica* (ZETTERSTEDT, 1838), Aedoeagus lateral.

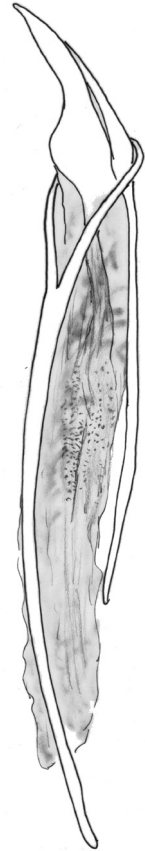
**Abb. 831.** *Corticaria lapponica* (ZETTERSTEDT, 1838), Präputialsack ausgestülpt.



841



842



843



**Abb. 841–843. *Corticaria longicornis* (HERBST, 1783)**

**Abb. 841.** *Corticaria longicornis* (HERBST, 1783), Länge 1,70–2,15 mm, ø 1,925 mm.

**Abb. 842.** *Corticaria longicornis* (HERBST, 1783), Aedoeagus ventral.

**Abb. 843.** *Corticaria longicornis* (HERBST, 1783), Aedoeagus lateral.

## Morphologie der Aedoeagi von *Melanophthalma* MOTSCHULSKY, 1866

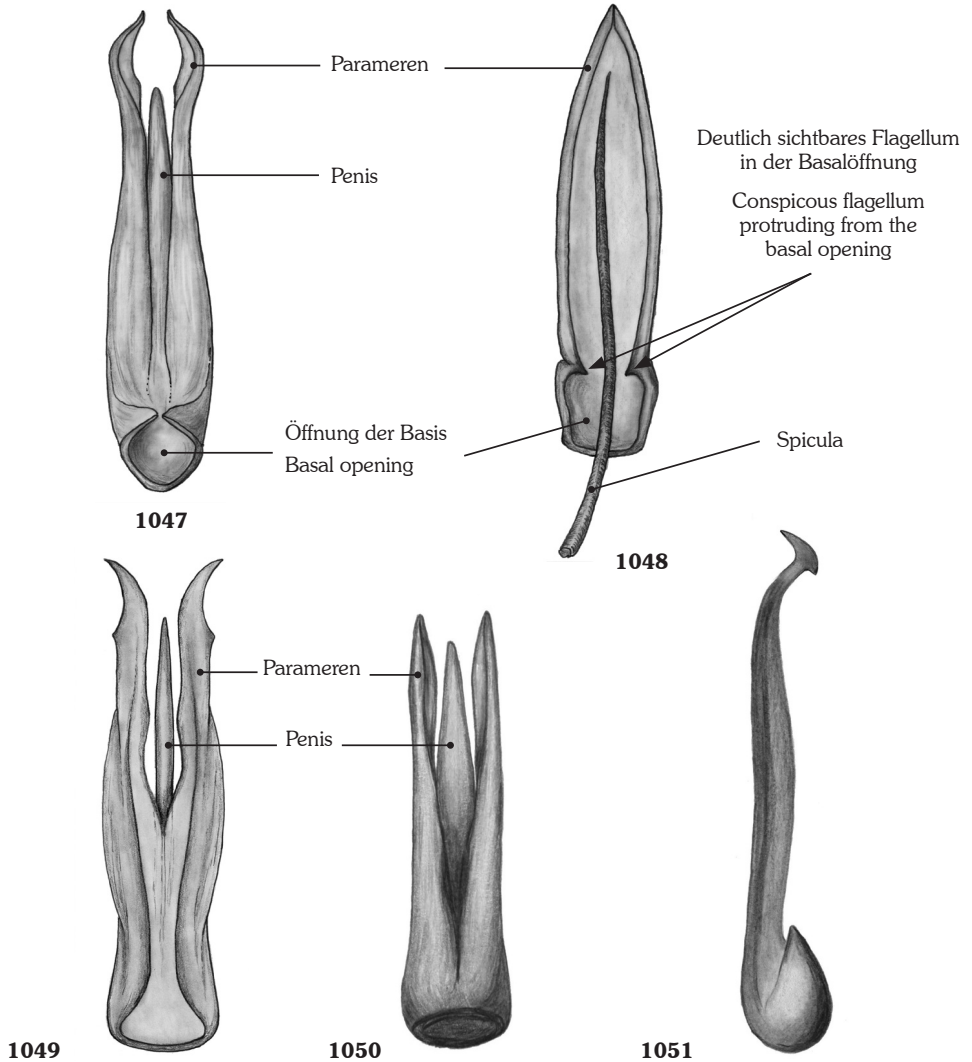


Abb. 1047–1051. Morphologie der Aedoeagi der Gattung *Melanophthalma* MOTSCHULSKY, 1866

- 1047.** *Melanophthalma phragmiticola* FRANZ, 1967, ventral.  
Aedoeagus dreigeteilt, Parameren offen, Spitzen am Ende nach innen gekrümmt.
- 1048.** *Melanophthalma rhenana* RÜCKER & JOHNSON, 2007, ventral.  
Aedoeagus nicht geteilt, Parameren geschlossen, mit deutlich sichtbarem und spitz hervorstehendem Flagellum in der Basalöffnung.
- 1049.** *Melanophthalma arabiensis* OTTO, 1979, ventral.  
Aedoeagus dreigeteilt, Parameren offen, Spitzen nach außen stark gekrümmt.
- 1050.** *Melanophthalma ophthalmica* DAJOZ, 1970, ventral.  
Aedoeagus dreigeteilt, Parameren offen, Spitzen gerade.
- 1051.** *Melanophthalma proximulata* RÜCKER, 1980, lateral.  
Aedoeagus eine einzige Einheit, Parameren fest verwachsen und reduziert, Spitze endet in einem hammerförmigen Gebilde.

# Faunenfremde Arten der Gattung *Melanophthalma* MOTSCHULSKY, 1866

## *Melanophthalma vincenti* RÜCKER, 2015

*Melanophthalma vincenti* RÜCKER, 2015b, 019: 3–4.

**Typen.** Holotype. 1 ♂, Französisch-Guayana (Département 973), Umgebung von Kourou, 5,14N–52,63W bis 5,07N–52,55W, Autokescher, 06.XI.2011, leg. T. STRYVE (MNHN).

Paratypen. 3 ♂ und 7 ♀, Französisch-Guayana (Département 973), Umgebung von Kourou, 5,14N–52,63W bis 5,07N–52,55W, Autokescher, 06.XI.2011, leg. T. STRYVE (WRCN und RV).

**Diagnose.** *Melanophthalma vincenti* RÜCKER, 2015 gehört verwandtschaftlich zur großen Gruppe folgender Arten aus Südamerika und Panama (Kanalzone): *Melanophthalma arborea* RÜCKER, 1981, *Melanophthalma minutula* RÜCKER, 1981, *Melanophthalma panamanensia* RÜCKER, 1981, *Melanophthalma consobrina* RÜCKER, 1987, *Melanophthalma denticulata* RÜCKER, 1987, *Melanophthalma rubi* RÜCKER, 1987, (RÜCKER 1981d und RÜCKER 1981e), unterscheidet sich besonders durch das stark gewinkelte Pronotum und anhand des Aedoeagus. Eine sehr schwierige Gruppe, die nur mit Hilfe von sicherem Vergleichsmaterial bestimmt werden kann.

**Beschreibung.** Länge 1,28–1,58 mm, etwas gewölbt, länglich eiförmig, Körper gelb bis gelbbraun gefärbt, Tarsen und Antennen etwas heller, gelb, Augen schwarz, Körper mit goldgelber, etwas anliegender Behaarung.

**Kopf.** Breite einschließlich der Augen 0,343 mm, Länge 0,143 mm, Augen sehr groß, nehmen fast die gesamte Länge des Kopfes ein, Augen-

durchmesser in Längsrichtung 0,157 mm, stark vorgewölbt mit groben Facetten, ohne Schläfen, Oberfläche matt glänzend, chagriniert, Punkte um etwa einen Punktdurchmesser voneinander entfernt, Fühlerlänge 0,457 mm, Fühler elfgliedrig mit dreigliedriger Fühlerkeule (Abb. 1151).

**Pronotum.** Breite 0,517 mm, Länge 0,425 mm, größte Breite in der Mitte, spitzwinkelig, ab der Mitte nach hinten verlaufen die Seiten fast parallel, Halsschildseitenrand gezähnt, vor der Basis mit einem deutlichen queren Eindruck. Oberfläche matt glänzend, chagriniert, Punktierung vergleichbar mit der des Kopfes.

**Elytren.** Breite beider Flügeldecken 0,529 mm, Länge 0,943 mm, Oberfläche fett glänzend, chagriniert, in deutlichen Reihen fein und eng punktiert, Punktabstände überwiegend kleiner als die Punktdurchmesser, Zwischenräume flach, Elytren eiförmig gerundet und gewölbt, Behaarung goldgelb, nur leicht abstehend, Länge 0,029–0,043 mm, Flügeldeckenspitzen breit gerundet, Scutellum quer rechteckig mit quer liegendem Kielchen, Schultern schwach hervor gehoben und rund. Flugfähig. Habitus (Abb. 1150).

**Unterseite.** Erstes Sternit mit feinen Schenkellinien, die das Ende des ersten Sternites erreichen, fein behaart, chagriniert, matt glänzend.

**Sexualdimorphismus.** Beine der Männchen das dritte Tarsenglied mit einem spitzen, nach vorn gerichteten Zähnchen.

**Aedoeagus.** Breite 0,036 mm, Länge 0,286 mm, in Lateralansicht schwach gebogen, Spitze etwas nach hinten gerichtet. (Abb. 1152 und 1153).

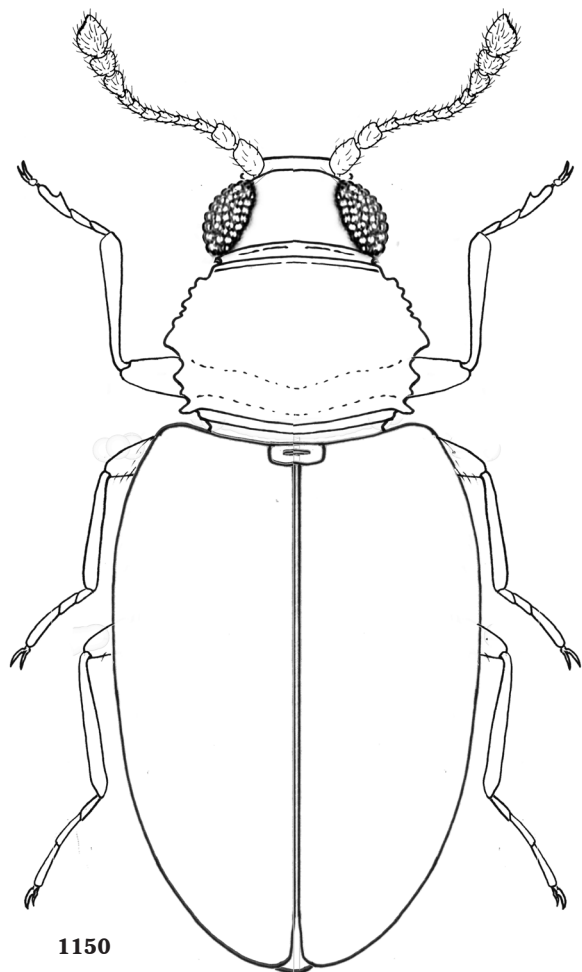
**Biologie und Ökologie.** Unbekannt, dem Darminhalt nach myzetophag, das Material stammte aus einem Autokescherfang.

**Verbreitung.** Französisch-Guayana, derzeit nur aus Französisch-Guayana bekannt.

Französisch-Guayana gehört zum Mutterland Frankreich und ein Import aus Französisch-Guayana nach Frankreich oder Europa ist durchaus möglich.



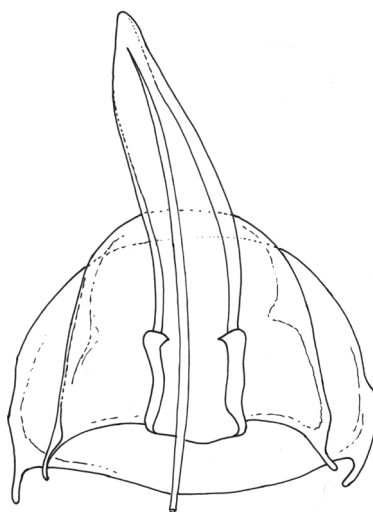
***Melanophthalma vincenti* RÜCKER, 2015**



1150



1152



1153



1151

**Abb. 1150–1153. *Melanophthalma vincenti* RÜCKER, 2015; Länge 1,28–1,58 mm.**

**Abb. 1150.** *Melanophthalma vincenti* RÜCKER, 2015, Habitus.

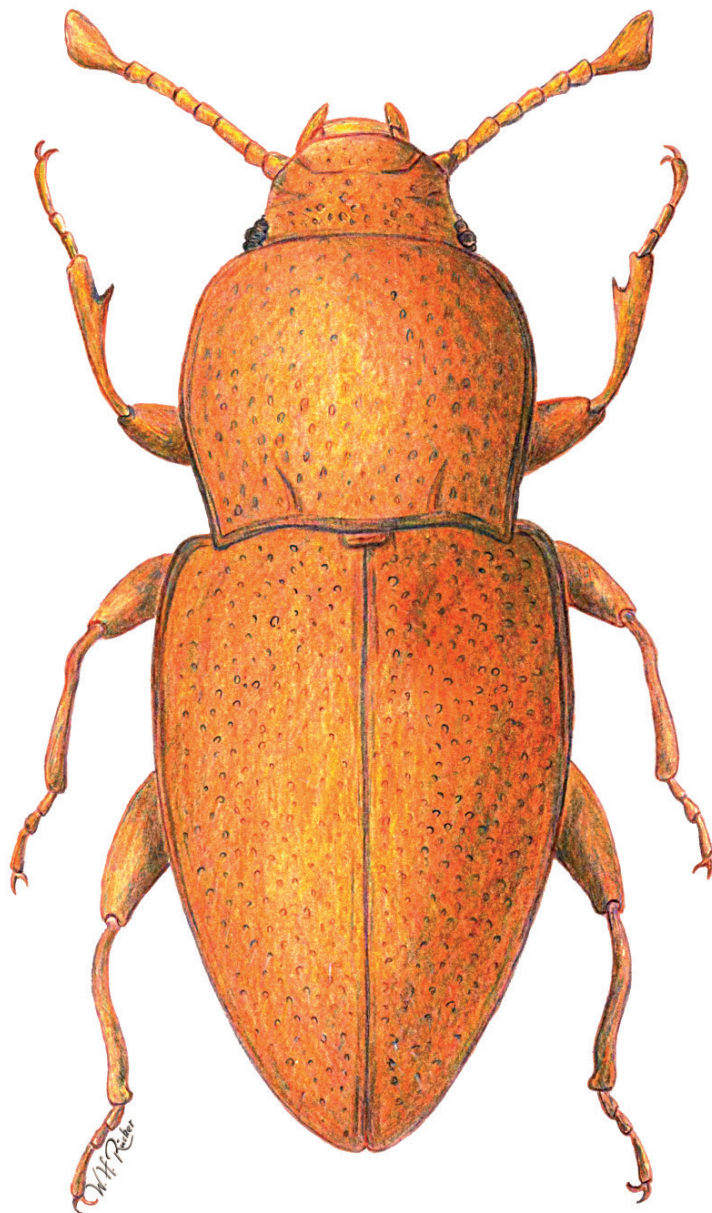
**Abb. 1151.** *Melanophthalma vincenti* RÜCKER, 2015, Fühler.

**Abb. 1152.** *Melanophthalma vincenti* RÜCKER, 2015, Aedeagus lateral.

**Abb. 1153.** *Melanophthalma vincenti* RÜCKER, 2015, Aedeagus ventral.

## **Merophysiidae SEIDLITZ, 1872**

### **Merophysiinae SEIDLITZ, 1872**



Übersicht der Aedoeagi der Gattung *Merophysia* (Abb. 1016–1025)

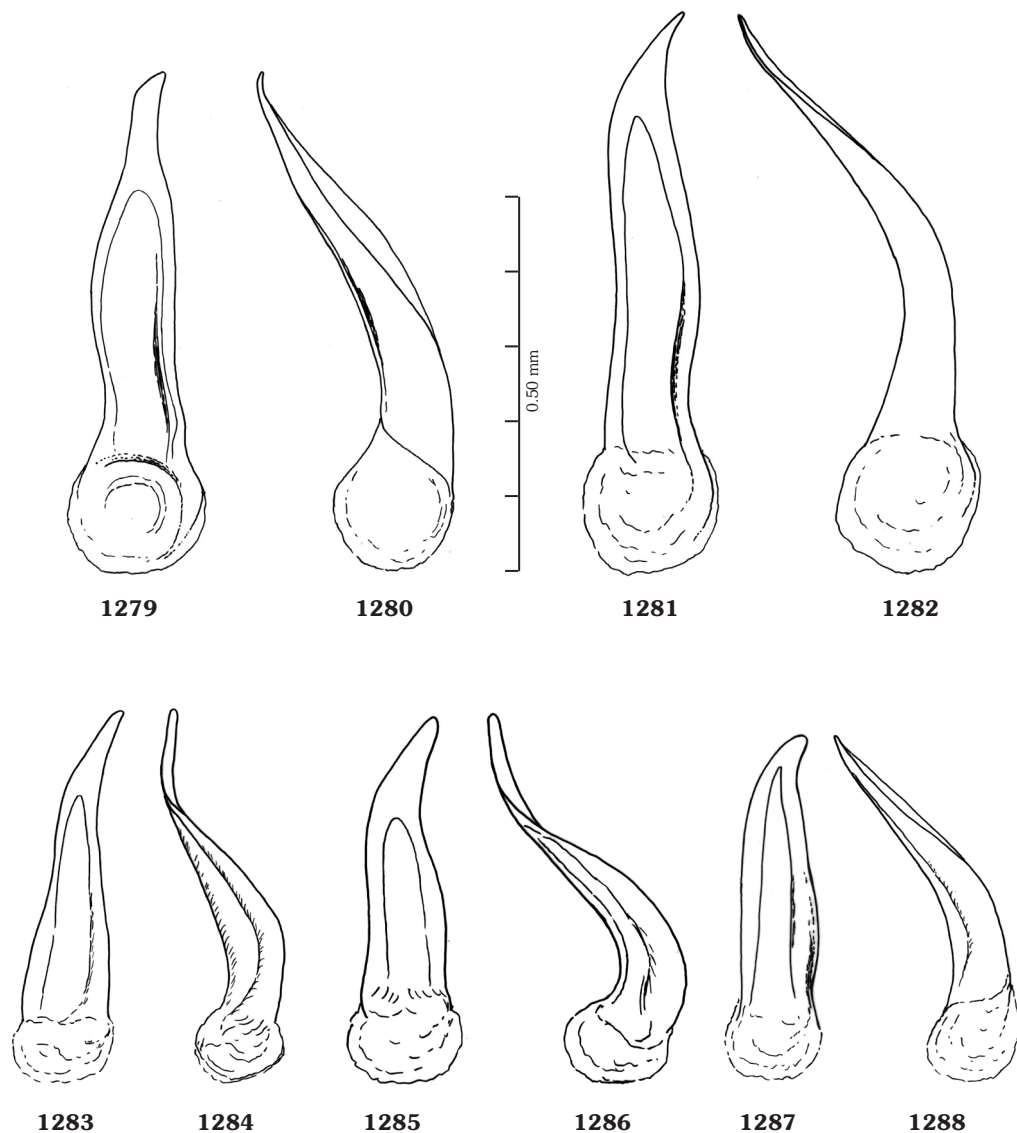


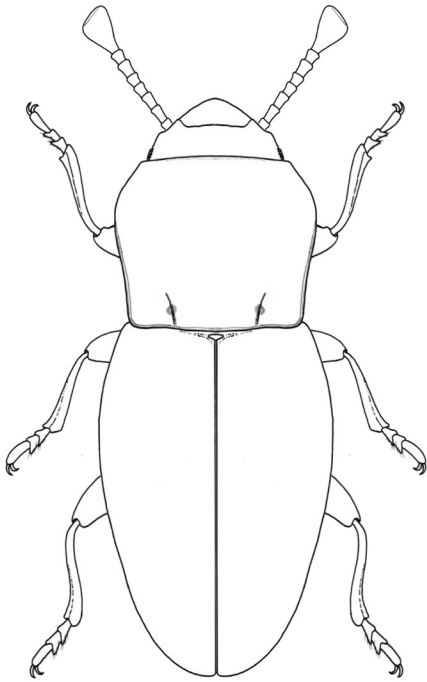
Abb. 1279–1288. Übersicht der Aedoeagi der Gattung *Merophysia* LUCAS, 1852

**Ansicht ventral**

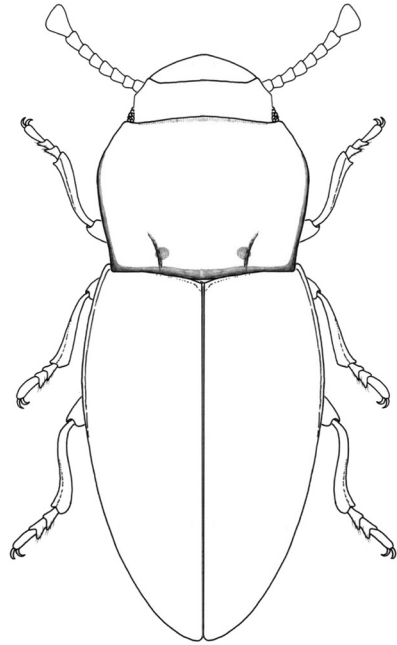
1279. *M. biplicata* REITTER, 1884.  
 1281. *M. baudueri* REITTER, 1877.  
 1283. *M. fornicaria* LUCAS, 1852.  
 1285. *M. sicula* KIESENWETTER, 1872.  
 1287. *M. andreinii* GRIDELLI, 1930.

**Ansicht lateral**

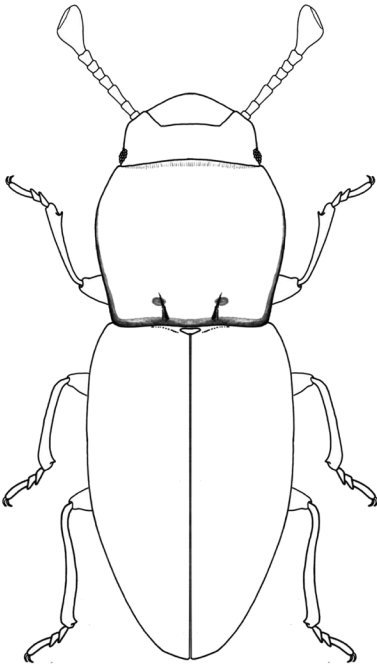
1280. *M. biplicata* REITTER, 1884.  
 1282. *M. baudueri* REITTER, 1877.  
 1284. *M. fornicaria* LUCAS, 1852.  
 1286. *M. sicula* KIESENWETTER, 1872.  
 1288. *M. andreinii* GRIDELLI, 1930.



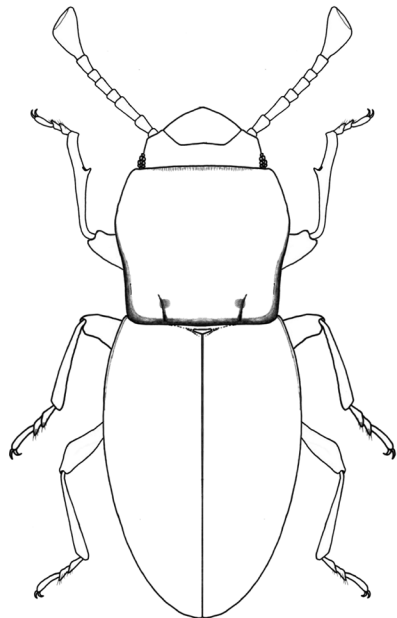
1311



1312



1313



1314

**Abb. 1311–1314. *Merophysia* LUCAS, 1852, Habitus Männchen**

**1311.** *M. oblonga* KIESENWETTER, 1872.

**1312.** *M. striatella* REITTER, 1890.

**1313.** *M. carinulata* ROSENHAUER, 1856.

**1314.** *M. biplicata* REITTER, 1884.

# Systematischer Teil

## Merophysiinae SEIDLITZ, 1872

### Bestimmungsschlüssel zur Trennung von Merophysiinae SEIDLITZ, 1872 und Holoparamecinae SEIDLITZ, 1888

- 1 Fühler achtgliedrig, Fühlerkeule nur aus einem beilförmigen Fühlerglied bestehend, (Abb. 1174, 1245–1264). Elytren breit oval und eiförmig, ohne Nahtstreifen (Abb. 1223–1244, 1307–1327).

**Unterfamilie**

**Merophysiinae SEIDLITZ, 1872**

..... 1

- Fühler neun- bis elfgliedrig, die Fühlerkeule aus ein bis zwei kugelförmigen Fühlergliedern bestehend (Abb. 1349–1355). Elytren mit Reihen von Punkten oder feinen Nahtstreifen (Suturallinie Abb. 1177), überwiegend langgestreckt und oft etwas eiförmig (Abb. 1332, 1333–1339).

**Unterfamilie**

**Holoparamecinae SEIDLITZ, 1888**

### Bestimmungsschlüssel Unterfamilie Merophysiinae SEIDLITZ, 1872

- 1 Die Augen sind auf ein großes pigmentloses Ommatidium reduziert (Abb. 1166). Scutellum groß, dreieckig, sichtbar.

**Gattungen:**

***Cholovocera* MOTSCHULSKY, 1838**

***Reitteria* LEDER, 1872**

..... 2

- Die Augen deutlich, schwarz, meistens grob facettiert (Abb. 1168) oder mit nur wenigen

Ocellen (Abb. 1167) Scutellum kann vom Hinterrand des Pronotums teilweise oder vollständig verdeckt sein.

**Gattungen:**

***Displotera* REITTER, 1887**

***Merophysia* LUCAS, 1852**

..... 3

- 2 Mesoventrit ohne Kiele mit einer tiefen Quertfurche. Pronotum quer, breiter als lang, von der Basis nach vorne deutlich schmaler werdend. Vor der Basis ohne quere Linie oder Vertiefung (Abb. 1166).

***Cholovocera* MOTSCHULSKY, 1838**

- Mesoventrit mit zwei feinen Längskielen, Kiele gerade verlaufend. Pronotum quer, breiter als lang, von der Basis nach vorne deutlich schmaler werdend, Vor der Basis mit einer tiefen, parallel zum Hinterrand verlaufenden Linie die beiderseits in einem kleinen Grübchen endet (Abb. 1165).

***Reitteria* LEDER, 1872**

- 3 Pronotum von der Basis nach vorne schmaler werdend, Scutellum klein und dreieckig. Prosternalplatte zwischen den Vorderhüften breit, zur Spitze rund verbreitert, Mesoventrit quer, Augen oberständig und außen von einer feinen Kante als Seitenrand begrenzt, meistens aus sechs großen auseinander liegenden Ommatidien bestehend, die Augen sind nicht von der Unterseite sichtbar (Abb. 1167b). Körper kurz, breit und eiförmig. Das Pronotum schließt sich an die Elytren an und bildet eine geschlossene Einheit (Abb. 1167).

***Displotera* REITTER, 1887**

- Pronotum zur Basis stärker verengt als nach vorne, Scutellum klein und quer, meistens vom Hinterrand des Pronotums teilweise oder ganz verdeckt. Prosternalfortsatz zwischen den Procoxae schmal, parallel, Mesoventrit groß, Augen klein, seitenständig, aus mehreren Facetten bestehend und von der Unterseite immer sichtbar (Abb. 1168b). Körper gestreckt, Elytren eiförmig. Einzige Gattung bei der die Männchen an den Protibiae an der Innenseite